

焼結鉱の向流還元および炭素析出について*

相馬胤和**

The Countercurrent Reduction of Sinter and Carbon Deposition

Tanekazu SōMA

Synopsis:

The reduction tube which had a slit-type tuyere was used for the countercurrent reduction. The data of countercurrent reduction were plotted on the graph of the degree of reduction v. s. the gas utilization coefficient. This graph was advantageous to explain the countercurrent phenomena.

On the countercurrent reduction of sinter, the gas utilization coefficient was depended on two factors; the first was a ratio of ore descending speed to gas flow rate and the second was a contact time. When the contact time was 8.5 sec, the H₂ utilization coefficient was similar to that of CO, but when the contact time was shorter, the former was larger than the latter.

With the countercurrent reduction by CO, carbon deposited fast when a ratio of ore descending speed to gas flow rate was low and a contact time was long. And with that by N₂+34% CO, carbon deposited little.

The reduction velocity with N₂+34% CO was mainly determined, between 600°C and 900°C.

(Received 4 Nov. 1967)

1. 緒 言

前報¹⁾において内径 27 mm のステンレス钢管にて向流還元を行ない、向流還元における定常還元率および定常利用率は(鉱石降下速度/ガス流量)とガスの接触時間により決定されることを述べた。しかし還元ガスを反応管下端より導入したため、完全な向流還元にならず、多少の誤差を含んでいたので、反応管に羽口を設け、ガス

は 900°C 面より 300°C 面に上昇し、鉱石は 300°C 面より 900°C 面に下降する完全な向流還元の条件を揃え、ガスに H₂ と N₂+34% CO の 2 種を使用し測定を行なつた。また CO を使用した不完全な向流還元を行ない、鉱石が下降する途中での炭素析出速度について考察した。

2. 装置および方法

反応管は Fig. 1 に示すように、内管には前回の反応管と同じ内径 27 mm、肉厚 3 mm の 18-8 ステンレス钢管を 700 mm と 600 mm に切断し、1 mm 離して 3 点を点溶接して羽口を作り、それに内径 37 mm 長さ 700 mm の外管をかぶせて両端を内管に溶接し、上端にガス導入口をつけた。

ガスはガス導入口より内外管の間(2 mm)を予熱されながら下降し、900°C 基準面に置かれたスリット状の羽口より炉内に入り、鉱石層の間を上昇し、上端のシリコーンゴム栓に通されたガラス管より外に出る。

電気炉は内径 50 mm、長さ 600 mm の炉心管に上より 125 mm、125 mm におのおの 400W、250 mm に 1 kW のニクロム線を均等に捲き、上中の捲線の中心をそれぞれ 450°C、750°C に、下の捲線の上より 50 mm の

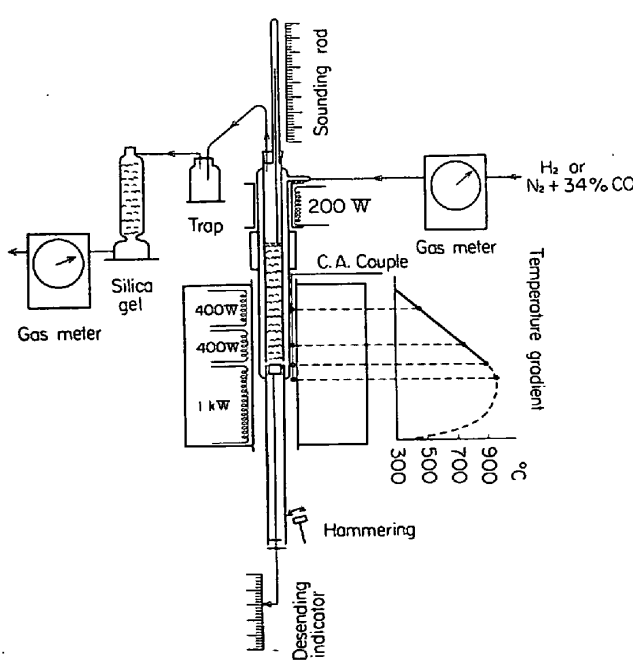


Fig. 1. Experimental apparatus.

* 昭和42年10月本会講演大会にて発表
昭和42年11月4日受付

** 茨城大学工学部 工博

Table 1. Chemical analysis of self-fluxing sinters (%)

Sort	T.Fe	FeO	SiO ₂	CaO	Basicity	T.O*
A	56·69	8·84	5·42	9·67	1·8	23·38
B	55·9	8·91	5·20	11·41	2·2	22·80

* Oxygen combined with iron

ところを 950°C に自動温度調節をさせ、温度匀配を羽口より上 250 mm の間を 900°C より 300°C に直線的に変化させることができ、これを還元帯とした。

鉱石は自溶性焼結鉱 2 種を使用し、その分析値を Table 1 に示す。それらの成分には大差はない。

実験方法は前報¹⁾ 同様である。まず鉱石受台を300°C 面に置いて焼結鉱 450 g (装入高さ約 380 mm) を装入し、昇温してから羽口までは比較的早く降下させ、それから還元ガスを送るとともに鉱石を所定の速度で降下させ、ガス利用率が一定になるまで還元を行なつた。

ガス流量、鉱石降下速度を一定にして還元層厚の2～3倍降下させれば、羽口以下に下降した鉱石の還元率も還元層を出たガスの利用率も一定の値に達する⁴⁾。この値を定常還元率および定常利用率と呼ぶ。本実験においては2倍とすると500mm降下させる必要があるが実際には装置および実験時間上の制約からガス利用率が一定値に達するところすなわち受台が羽口面より100～150mm降下したところでデータをとつた。これは後述するように、300～900°Cの向流還元では600～900°C帯で

ほぼ反応速度が決定されるため比較的早く一定値に達するためである。

降下速度 1 mm/min も他のデータ同様に 100~150 mm 下でほぼ一定値に達したのでこれを定常利用率として計算したところ、定常還元率が 110% になった。そこで降下速度がおそいと真の値まで達するのにさらに長時間必要と考え、つぎに受台が羽口上 100 mm のところから 1 mm/min の降下速度で実験を行ない、この結果を Fig. 2 に示した。図よりまだ完全に一定値に達したとはいえないが、最後の 5 点の平均値をとり定常利用率とした。

ガス利用率は前報^{2,3)}同様、H₂還元では反応管上部を140°Cに加熱し、シリコーンゴムにてトラップおよびシリカゲル吸収塔に導いて脱湿し、還元前後の流量差より計算し、CO還元では反応管前後の流量とヘンペルによるCO₂分析より計算した。

定常還元率は次式より計算した¹⁾.

ここで ρ : 鉱石層単位長さあたり鉱石重量 g / mm, L: 鉱石降下速度 mm/min, X: 鉱石中 Fe と結合した酸素量(小数表示), R: 定常還元率%, Q: ガス中還元ガス流量 l / min, η : 定常ガス利用率%を示す.

なほ還元後の試料は反応管の下に同径で長さ 40 mm に切つたりングを10コつなぎ、受台を徐々に降下させ鉱石層をその中に移動してから、リングを上より 1 つずつ

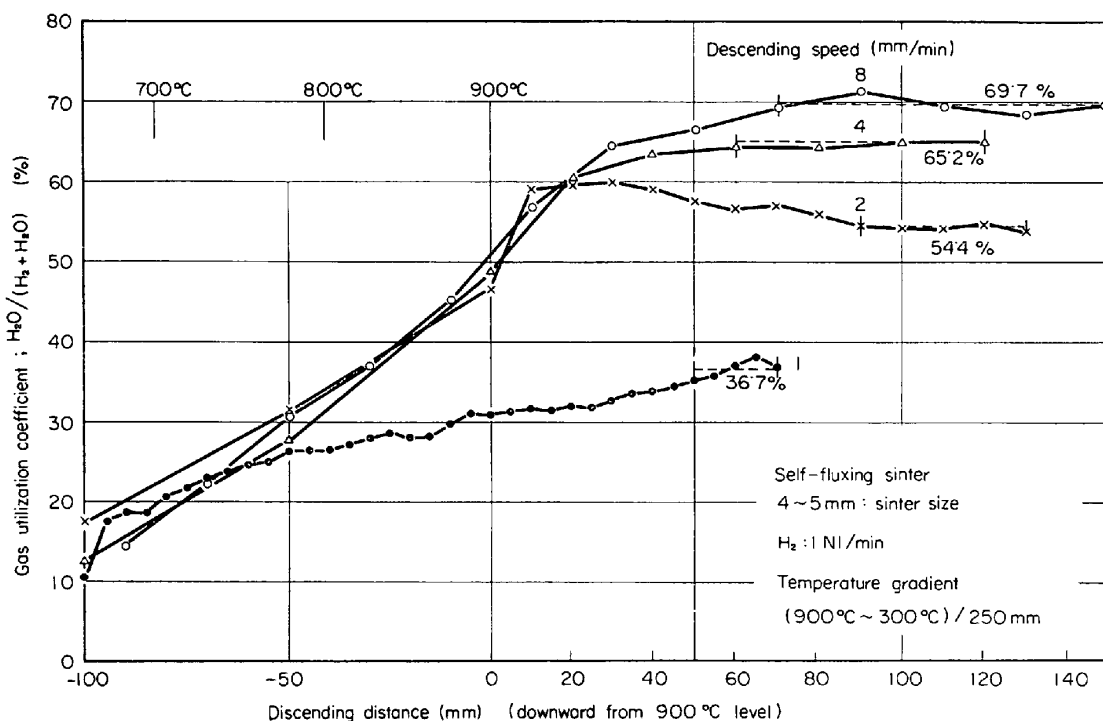


Fig. 2. Influence of descending speed on the gas utilization coefficient.

はすして 40 mm 高さの平均試料として、還元率は H_2 還元法により、炭素は容量法にて分析を行なつた。

3. 結果および考察

3.1 H₂による向流還元

H_2 流量 $0\cdot5, 1, 2 \text{ NL/min}$, 鉱石降下速度 $1, 2, 4, 8 \text{ mm/min}$ を組合せて実験を行なつた。 $H_2 1 \text{ NL/min}$ のときの H_2 利用率の変化を受台の位置に対して表わしたのが Fig. 2 である。Fig. 2 は前報¹⁾とほぼ同じ条件 ($300\sim900^\circ\text{C}$ 帯の高さが 200 mm より 250 mm に変わつたことが違う) であるが羽口がついたため、とくに鉱石降下速度の大きなときでも H_2 利用率が一定の値に達する。これは降下速度が大きいと定常還元率が低く、羽口がないと 900°C 基準面にきても未還元の部分が多く残つていて、ガスを反応管下端より導入したため、基準面以下でも還元が進むため一定の値にならなかつたが、今回は羽口をつけたため、一定値に達しさせることができ完全な向流還元のデータが得られた。

つぎに定常還元率と定常利用率を両軸に持つ平面にプロットし、Fig. 3 に示す。前報と縦横軸を逆にしたのは固定層還元²⁾との関連がわかるようにしたためである。

(1)式より

となり鉱石降下速度/ガス流量一定となると右辺は常数となり、原点を通る直線を示し、 $R = 1$ (還元率 100%) に対するガス利用率 η_1 が決まるが、これは還元ガスの還元しうる酸素量と下降鉱石中の酸素量との比を表わす。

す。

Fig. 3 にて、3本の曲線が右端で一致し、左端に向かつて放射状に開いていることと、なだらかな曲線を示し、前報の羽口のない場合とはやや異なる結果を示した。また接触時間 4・3 sec においても利用率は 50~60% とかなり高い値を示している。

3.2 CO による向流還元

高炉ではCO還元が中心となつてゐるので、高炉反応の解析のための向流還元もCOで行なわねばならない。H₂の代わりに純COにて羽口を通して還元を行なつたところ、約10minで炭素析出のため完全に羽口が閉塞しCOが通らなくなつてしまつた。そこでCOを反応管下端より導入し、前報¹⁾の方法同様不完全ながら向流還元を行なつた。その結果はつきのN₂+34%COによる結果に近い値を示した。

COINL/min のときの還元後の試料を層別に採取し、炭素分析を行ない試料中の C% を採取位置したがつて温度に対しプロットし Fig. 4 に示す。図にて降下速度の一番おそい 1 mm/min のものが最高の C 0.5% を示したが、この程度では棚吊を起こすにはまだかなり低いようである²⁴⁾。また温度 650°C でピークを示し、それ以上ではカーボンソリューションが起こつてゐることを示している。流量を変えたときの結果もあわせ、炭素析出は(鉱石降下速度/ガス流量) が小さいほど、接触時間が長いほど盛んになるといえよう。

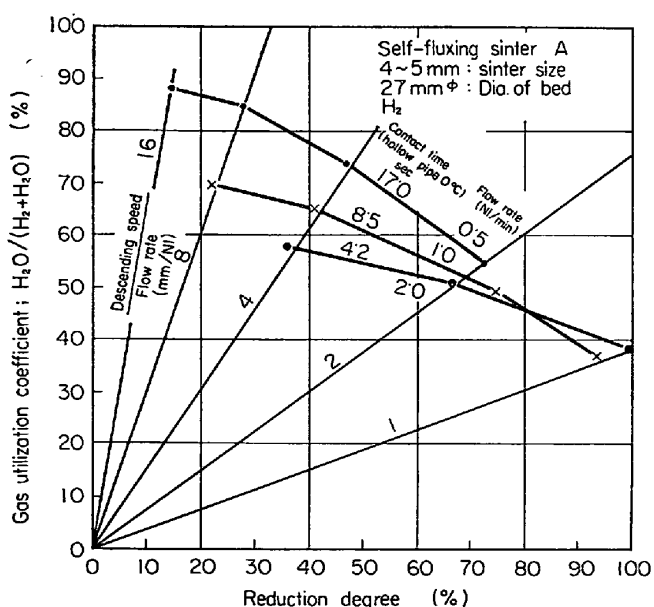


Fig. 3. Reduction degree v.s. gas utilization coefficient diagram of countercurrent reduction by H₂.

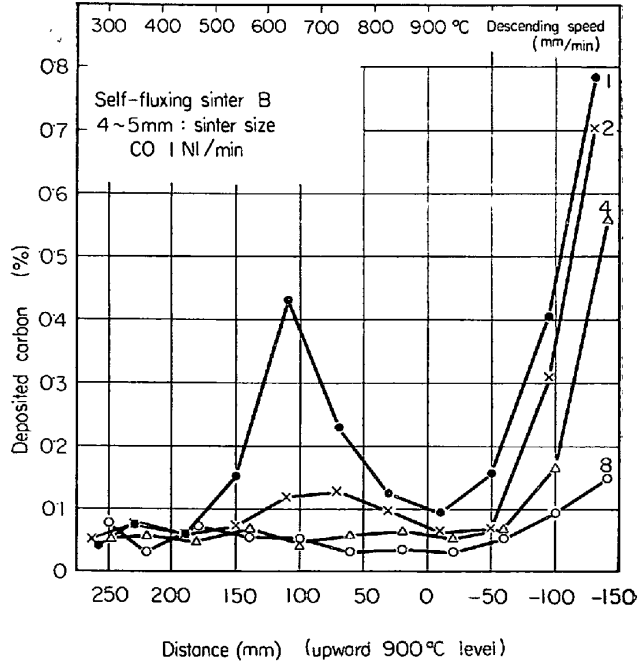


Fig. 4. Carbon deposition with countercurrent reduction.

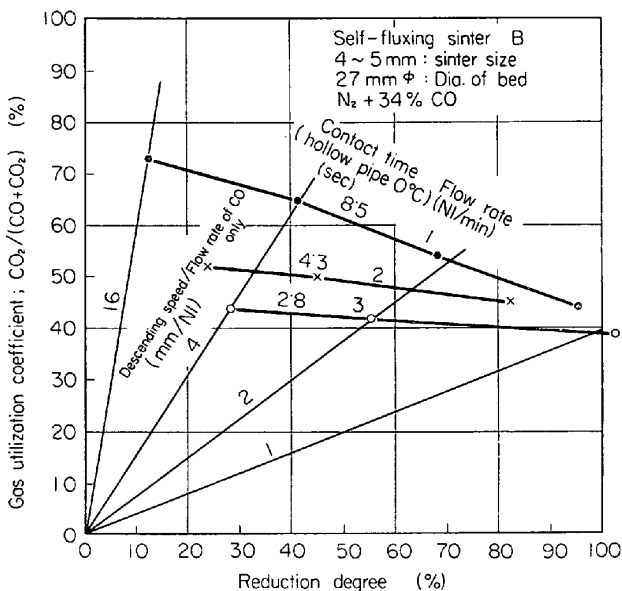


Fig. 5. Reduction degree v.s. utilization coefficient diagram of countercurrent reduction by $N_2 + 34\% CO$.

3.3 $N_2 + 34\% CO$ 混合ガスによる向流還元

純COでは羽口が使えず完全な向流還元の実験ができなかつたので、圧縮空気と木炭を反応させ、 $N_2 + 34\%$ CO混合ガス($CO_2 1\%$ 以下)を発生させ、羽口より導入して向流還元を行なわせた。羽口に入る前にステンレス内外管の間に多少の炭素析出を起したが(1回の実験で20mg程度)，羽口をつまらせるまでには至らず実験を行なうことができた。

その結果をFig. 5に示す。 H_2 還元と同様に曲線群は放射線状となり、接触時間8.5secでは曲線は H_2 のときとほぼ同じ利用率を示すが、それより接触時間が短くなるとほぼ直線となり、 H_2 のときより利用率がかなり低下するとともに、接触時間一定(したがつてガス流量一定)の場合、鉱石降下速度を変化させてもガス利用率にあまり差のないことを示している。Fig. 5において(鉱石降下速度/ガス流量)の比は酸素バランスを示すので、ガス流量の計算にはCOのみの流量を使用した

が、接触時間(空塔、 $0^\circ C$ 基準)の計算には流量として混合ガス流量を使用した。

現在大型高炉における接触時間は空塔 $0^\circ C$ 基準で10sec内外であり、間接還元率を60%とみればガス利用率は4~5mm焼結鉱では約60%となり、現在の高炉での45%に比べればまだ改善の余地はあるといえる。

$N_2 + 34\% CO$ 1NI/minのときの実験後の鉱石試料の H_2 還元による還元分析値を採取位置に対しプロットすると、300~900°C向流還元においては600~900°C帶においてほとんど全還元量の90%が行なわれており600~300°C帶は還元速度に対し重要な意味を持つていない。

また炭素分析の結果は流量、降下速度を種々変化して行なつたいづれの場合もC 0.1%以下であり、CO還元のときに比較してはるかに少ない。したがつて、高炉内の条件においても炭素析出は極端なガス流の停滞のないかぎりほとんどないといえる。

4. 結 言

(1) 300~900°Cの直線的温度勾配を持つ向流還元装置を作り、自溶性焼結鉱の H_2 および $N_2 + 34\% CO$ による向流還元のデータを得た。

(2) 向流還元でのガス利用率は(鉱石降下速度/還元ガス流量)の比とガスの接触時間により決定される。

(3) CO還元における炭素析出速度は(鉱石降下速度/還元ガス流量)が少ないとほど、接触時間が長いほど大である。 $N_2 + 34\% CO$ 還元ではほとんど炭素析出を起さなかつた。

(4) $N_2 + 34\% CO$ による還元速度はほとんど600~900°C帶で決定される。

文 献

- 1) 相馬: 鉄と鋼, 52 (1966), p. 1372
- 2) 相馬: 茨城大学工学部紀要, 6 (1966), p. 1
- 3) 相馬: 鉄と鋼, 51 (1965), p. 1753
- 4) 児玉, 他: 鉄と鋼, 49 (1963), p. 10